

**การจำลองสนามความเค้นของคานสี่เหลี่ยมอย่างง่ายรับแรงกระจายเอกรูปและ
แผ่นเรียบบางมีรูกลมตรงกลางรับความเค้นเฉือนล้วนด้วยโฟโตอีลาสติกซิตีเชิงเลข**

**A Digital Simulation of Stress Field of a Simply Supported Rectangular Beam under
a Uniformly Distributed Load and a Plate with a Circular Hole at its Center under
a Uniformly Shearing Stress using Digital Photoelasticity**

ศรัณยู มั่นพิศุทธิ์ และ พิเชษฐ์ พินิจ*

ภาควิชาครุศาสตร์เครื่องกล คณะครุศาสตร์อุตสาหกรรมและเทคโนโลยี มหาวิทยาลัยเทคโนโลยีพระจอมเกล้าธนบุรี
บางมด ทุ่งครุ กรุงเทพฯ 10140

*ผู้ติดต่อ: pichet.pin@kmutt.ac.th, โทรศัพท์ (662) 4708522, โทรสาร (662) 4708527

บทคัดย่อ

สนามความเค้นมีความสำคัญต่อการออกแบบชิ้นส่วนทางกล ลักษณะของสนามความเค้นเป็นตัวกำหนดรูปร่างของชิ้นส่วน เพื่อให้สามารถรับภาระภายนอกได้ตามความต้องการ สิ่งซึ่งแฝงอยู่ในสนามความเค้น เช่น บริเวณที่ความเค้นมีค่าสูงสุด บริเวณที่ความเค้นมีค่าเท่ากับศูนย์ ลักษณะการไหลของความเค้น สามารถมองเห็นได้โดยอาศัยวิธีการวิเคราะห์ความเค้นเชิงทดลอง ที่เรียกว่า โฟโตอีลาสติกซิตีเชิงเลข บทความนี้นำเสนอการจำลองสนามความเค้นของคานอย่างง่ายอยู่ภายใต้แรงกระจายแบบเอกรูป และแผ่นเรียบบางขนาดใหญ่ที่มีรูกลมตรงกลางอยู่ภายใต้ความเค้นเฉือนล้วน โดยอาศัยวิธีโฟโตอีลาสติกซิตีเชิงเลขร่วมกับผลเฉลยแม่นยำตรงจากทฤษฎีสภาพยืดหยุ่น การจำลองตั้งอยู่บนพื้นฐานการใช้สมการความเข้มแสงควบคุม ผลจากการจำลองซึ่งอาศัยหลักการเลื่อนเฟสทำให้ได้ริ้วโฟโตอีลาสติก และริ้วไอโซพาคิก ที่มีความถูกต้องอย่างสมเหตุผล

คำหลัก: โฟโตอีลาสติกซิตีเชิงเลข, ริ้วไอโซคลินิก, ริ้วไอโซโครมาติก, ริ้วไอโซพาคิก

Abstract

Stress field is of paramount importance in design of mechanical members. It defines a shape of members being designed to withstand external loads. What are in a stress field, such as areas of high stresses, areas of zero stresses, and flow of stresses, can be seen by digital photoelasticity. This paper presents a digital simulation of stress fields of a simply supported rectangular beam under a uniformly distributed load and a plate with a circular hole at its center under a uniformly shearing stress by means of digital photoelasticity coupled with the exact solutions given from the Theory of Elasticity. The simulation is based on a use of governing intensity equation. Results from a simulation using the phase shifting method provide photoelastic fringe and isopachic fringe with reasonable accuracy.

Keywords: Digital photoelasticity, Isoclinic fringe, Isochromatic fringe, Isopachic fringe

1. บทนำ

โฟโตอีลาสติกรีซิงเป็นวิธีการวิเคราะห์ความเค้นเชิงทดลอง (experimental stress analysis) ที่สามารถแสดงสนามความเค้นในแบบเชิงทัศน การวิเคราะห์ความเค้นด้วยวิธีนี้มีตัวแปรที่สำคัญอยู่สองตัวแปร ซึ่งจะใช้อธิบายลักษณะของสนามความเค้นดังกล่าว ตัวแปรเหล่านี้ คือ ตัวแปรไอโซคลินิก และตัวแปรไอโซโครมาติก ตัวแปรไอโซคลินิกจะสัมพันธ์กับทิศทางของความเค้น ขณะที่ตัวแปรไอโซโครมาติกจะแสดงค่าผลต่างของความเค้นหลัก ($\sigma_1 - \sigma_2$) ซึ่งสัมพันธ์กับค่าความเค้นเฉือนสูงสุด τ_{max} อีกทอดหนึ่ง

ในการศึกษาทางด้านโฟโตอีลาสติกรีซิงนั้นยังมีตัวแปรอีกหลายตัวแปรที่มีความสำคัญต่อการวิเคราะห์ความเค้น และหนึ่งในนั้นก็คือ ตัวแปรไอโซพาซิก (isopachic parameter) ตัวแปรนี้แสดงถึงค่าผลรวมของความเค้นหลัก ($\sigma_1 + \sigma_2$) ซึ่งหากนำค่า ($\sigma_1 - \sigma_2$) รวมกับ ($\sigma_1 + \sigma_2$) ด้วยเงื่อนไขที่เหมาะสมก็จะได้อ่าความเค้นหลัก σ_1 และ σ_2 ที่แยกออกจากกัน ซึ่งสามารถนำไปใช้ออกแบบชิ้นส่วนทางกลในทฤษฎีความเสียหาย (failure theories) เช่น ทฤษฎีความเค้นเฉือนสูงสุด หรือ ทฤษฎีพลังงานแปรรูป เป็นต้น

นักวิจัยหลาย ๆ ท่าน ได้ทำการศึกษาปัญหาเกี่ยวกับตัวแปรต่าง ๆ ข้างต้นเพื่อนำไปประยุกต์ใช้ในทางปฏิบัติ วิธีการต่าง ๆ ที่ถูกนำเสนอขึ้นมานั้นจะมีระดับความถูกต้องเชิงตัวเลขที่ขึ้นอยู่กับแบบจำลองทางคณิตศาสตร์ของสมการความเข้มแสงควบคุมที่เกี่ยวข้องกับชนิดหรือประเภทของโพลาไรสโคป ที่ใช้ในการศึกษา

มีหลายปัจจัยที่มีอิทธิพลต่อประสิทธิภาพของวิธีการที่กล่าวถึงข้างต้น กล่าวคือ

- ความสามารถในการแก้ปัญหาหลาย ๆ รูปแบบ
- ความถูกต้องของผลลัพธ์
- ความรวดเร็วในการคำนวณ

จากการพิจารณาของผู้วิจัยเอง เห็นว่า ปัจจัยแรกเป็นเรื่องที่มีความท้าทายมากที่สุด ทั้งนี้เพราะว่า หากมีวิธีการแก้ปัญหาหนึ่ง ๆ ที่สามารถใช้ได้กับหลาย ๆ สถานการณ์ก็จะเป็นประโยชน์อย่างมาก

วิธีการหนึ่ง ๆ ที่ถูกสร้างขึ้นจะต้องได้รับการทดสอบกับหลาย ๆ ปัญหาที่ทำได้เป็นมาตรฐาน เพื่อให้ผู้สร้างจะได้เห็นพฤติกรรมการแก้ปัญหาของวิธีการนั้นได้อย่างชัดเจนเมื่อค่าตัวแปรเปลี่ยนไป ในการศึกษาทางด้านโฟโตอีลาสติกรีซิงนั้น การทดสอบวิธีการดังกล่าวกับภาพริ้วความเค้นจึงเป็นสิ่งที่ไม่สามารถหลีกเลี่ยงได้

เพื่อตอบสนองความจำเป็นดังกล่าว ผู้วิจัยเองได้จำลองภาพริ้วสนามความเค้นของปัญหาหลาย ๆ แบบ [1, 2] (รูปที่ 1) และในครั้งนี้ ผู้วิจัยจะนำเสนอการจำลองริ้วสนามความเค้นของคานสี่เหลี่ยมอย่างง่ายรับแรงกระจายเอกรูป และแผ่นเรียบบางมีรูกลมตรงกลางรับความเค้นเฉือนล้วน ซึ่งจะเป็นการเพิ่มจำนวนริ้วสนามความเค้นมาตรฐานอันเป็นประโยชน์ต่อการทดสอบวิธีการแก้ปัญหาทั้งที่ได้มีการนำเสนอไปแล้วและที่กำลังจะนำเสนอ เพื่อเป็นการพัฒนาขีดความสามารถของวิธีการข้างต้นต่อไปในอนาคต

2. ตัวแปรทางโฟโตอีลาสติกรีซิง

ในการศึกษาทางด้านโฟโตอีลาสติกรีซิง มีตัวแปรที่สำคัญสองตัวแปร คือ ตัวแปรไอโซคลินิก ϕ และ ตัวแปรไอโซโครมาติก N_c โดยที่ตัวแปรไอโซคลินิกจะมีความสัมพันธ์กับทิศทางของความเค้นหลัก ขณะที่ตัวแปรไอโซโครมาติกจะแสดงถึงขนาดของผลต่างของความเค้นหลัก อย่างไรก็ตามยังมีตัวแปรอีกหนึ่งตัวที่มีความสำคัญต่อการแยกความเค้น กล่าวคือ ตัวแปรไอโซพาซิก N_p หัวข้อนี้จะกล่าวเกี่ยวกับตัวแปรเหล่านี้

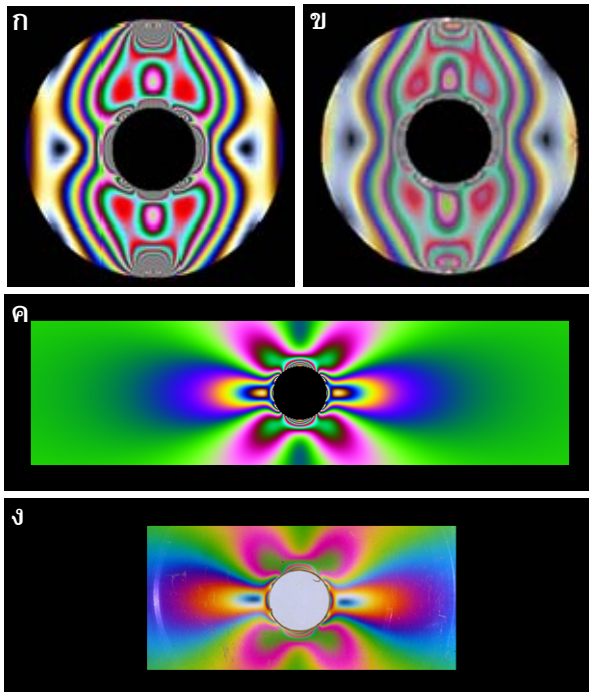
2.1 ตัวแปรไอโซคลินิก

เป็นที่ทราบกันดีว่า ทิศทางของความเค้นหลักสามารถคำนวณหาได้ โดยอาศัยความสัมพันธ์ระหว่างองค์ประกอบความเค้น ซึ่งเขียนเป็นสมการได้ดังนี้ [3]

$$\tan 2\phi = \frac{2\tau_{xy}}{\sigma_{xx} - \sigma_{yy}} \quad (1)$$

สำหรับระบบพิกัดคาร์ทีเซียนและ

$$\tan 2(\phi - \theta) = \frac{2\tau_{r\theta}}{\sigma_{rr} - \sigma_{\theta\theta}} \quad (2)$$



รูปที่ 1 ภาพสี (RGB) 24 บิต รีวไอโซโครมาติก โดยที่ (ก) และ (ข) เป็นภาพของแผ่นวงแหวนรับแรงเข้มกดตรงกันข้ามในแนวเส้นผ่านศูนย์กลางที่ได้จากการจำลอง และการทดลอง ตามลำดับ [1] ส่วน (ค) และ (ง) เป็นภาพแผ่นเรียบบางขนาดใหญ่ที่มีรูกลมตรงกลางรับความเค้นดึงล้วนที่ได้จากการจำลอง และการทดลอง ตามลำดับ [2]

สำหรับระบบพิกัดเชิงขั้ว โดยที่ θ คือ มุมระหว่างระบบพิกัดทั้งสอง

พิจารณาสมการ (1) หรือ (2) พบว่า ตัวแปรไอโซคลินิกจะมีค่าอยู่ในย่าน 0° ถึง $+90^\circ$ หรือ ย่าน -45° ถึง $+45^\circ$ ทั้งนี้ขึ้นอยู่กับ การแสดงผลลัพธ์ แต่ค่ามอดูโล (modulo) ของย่านทั้งสองจะมีค่าเท่ากัน คือ $+90^\circ$ ปัญหานี้เป็นปัญหาที่มีสำคัญในการวิเคราะห์หาค่า ϕ ทั้งนี้เนื่องจากว่า ในทางปฏิบัติ นั้น ϕ จะมีค่าอยู่ในย่าน -90° ถึง $+90^\circ$

ปัญหานี้ทำให้ผู้วิเคราะห์ไม่สามารถแยกได้ว่าทิศทางค่าจะสอดคล้องกับ σ_1 หรือ σ_2 ซึ่งในทางทฤษฎีเราสามารถแก้ปัญหาที่ว่านี้โดยอาศัยวงกลมโมร์หรือวิธีเวกเตอร์เจาะจง [4] อย่างไรก็ตาม การแก้ปัญหาด้วยวิธีดังกล่าวเป็นกระบวนการที่ยุ่ยาก

ซับซ้อนมาก หากจะวิเคราะห์ที่ทั่วทั้งสนามความเค้นด้วยเหตุนี้การวิเคราะห์ตัวแปรไอโซคลินิกเชิงสนามจึงเป็นเรื่องที่มีความจำเป็นอย่างยิ่ง

2.2 ตัวแปรไอโซโครมาติก

ความสัมพันธ์ระหว่างตัวแปรไอโซโครติกหรืออันดับรีวไอโซโครติก N_c กับ $(\sigma_1 - \sigma_2)$ สามารถเขียนเป็นสมการ โดยอาศัยกฎแห่งแสงและความเค้น (stress-optic law) ได้ดังนี้ [1]

$$N_c = \frac{t}{f_\sigma} (\sigma_1 - \sigma_2) \quad (3)$$

โดยที่ f_σ คือ ค่าสัมประสิทธิ์สัมพัทธ์ทางแสงและความเค้น และ t คือ ความหนาของตัวแบบ

สมการ (3) สามารถเขียนได้ใหม่ในพจน์ขององค์ประกอบความเค้นระนาบ [3] กล่าวคือ

$$N_c = \frac{t}{f_\sigma} \left\{ (\sigma_{xx} - \sigma_{yy})^2 + 4\tau_{xy}^2 \right\}^{1/2} \quad (4)$$

สำหรับระบบพิกัดคาร์ทีเซียน และ

$$N_c = \frac{t}{f_\sigma} \left\{ (\sigma_{rr} - \sigma_{\theta\theta})^2 + 4\tau_{r\theta}^2 \right\}^{1/2} \quad (5)$$

สำหรับระบบพิกัดเชิงขั้ว

พิจารณาสมการ (4) และ (5) จะพบว่า N_c จะมีค่าเท่ากันและไม่ขึ้นอยู่กั้มุมระหว่างระบบพิกัดทั้งสอง ซึ่งต่างจากตัวแปรไอโซคลินิก (เปรียบเทียบกับสมการ (1) และ (2))

2.3 ตัวแปรไอโซพาซิก

ความสัมพันธ์ระหว่างตัวแปรไอโซพาซิกหรืออันดับรีวไอโซพาซิก N_p กับ $(\sigma_1 + \sigma_2)$ สามารถเขียนเป็นสมการ ได้ดังนี้ [5]

$$N_p = \frac{t}{f_\sigma} (\sigma_1 + \sigma_2) \quad (6)$$

สมการ (6) สามารถเขียนได้ใหม่ในพจน์ขององค์ประกอบความเค้นระนาบ กล่าวคือ

$$N_p = \frac{t}{f_\sigma} (\sigma_{xx} + \sigma_{yy}) \quad (7)$$

สำหรับระบบพิกัดคาร์ทีเซียน และ

$$N_p = \frac{t}{f_\sigma} (\sigma_{rr} + \sigma_{\theta\theta}) \quad (8)$$

สำหรับระบบพิกัดเชิงขั้ว

สมการ (6), (7) และ (8) ได้แสดงให้เห็นถึงความสัมพันธ์ระหว่างอันดับรีวีไอโซพาทิกและตัวคงที่ค่าแรกของความเค้น (first invariant of stress) สำหรับปัญหาความเค้นระนาบ นอกจากนี้พึงสังเกตว่าค่า $(\sigma_1 + \sigma_2)$ สามารถนำไปใช้ในการแยกค่าความเค้นหลักได้โดยนำไปรวมกับค่า $(\sigma_1 - \sigma_2)$ สำหรับการแยกความเค้นหลักโดยการใช้ค่า $(\sigma_1 + \sigma_2)$ เพียงอย่างเดียว สามารถกระทำได้โดยใช้วิธีการผลต่างสืบเนื่อง (finite difference method) ในการแก้สมการลาปลาซ $(\frac{\partial^2}{\partial x^2} + \frac{\partial^2}{\partial y^2})(\sigma_1 + \sigma_2) = 0$ อย่างไม่ก็ตาม จะไม่ขอกล่าวรายละเอียด เนื่องจากอยู่นอกเหนือวัตถุประสงค์ของบทความฉบับนี้

3. องค์ประกอบความเค้นระนาบ

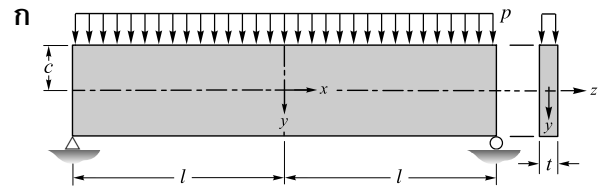
บทความนี้พิจารณาปัญหาที่มีผลเฉลยแม่นยำตรงสองปัญหา คือ คานสี่เหลี่ยมอย่างง่ายรับแรงกระจายแบบเอกรูป และแผ่นเรียบบางมีรูกลมตรงกลางรับความเค้นเฉือนล้วน โดยที่ผลเฉลยแม่นยำตรงเหล่านี้ได้จากทฤษฎีสภาพยืดหยุ่น (Theory of Elasticity)

3.1 คานสี่เหลี่ยมอย่างง่ายรับแรงกระจายเอกรูป

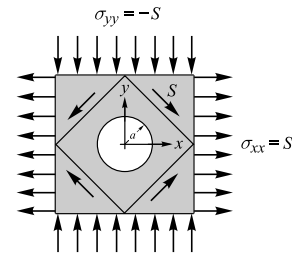
สมการองค์ประกอบความเค้นในระบบพิกัดคาร์ทีเซียนของคานสี่เหลี่ยมอย่างง่ายรับแรงกระจายเอกรูป (รูปที่ 2ก) สามารถเขียนได้ดังนี้ [6]

$$\begin{aligned} \sigma_{xx} &= \frac{3p}{4c} \left(\frac{l^2}{c^2} - \frac{2}{5} \right) y + \frac{3p}{4c^3} \left(x^2 y - \frac{2}{3} y^3 \right) \\ \sigma_{yy} &= \frac{3p}{4c} y - \frac{p}{2} - \frac{p}{4c^3} \\ \tau_{xy} &= \frac{3p}{4c} \left(\frac{y^2}{c^2} - 1 \right) x \end{aligned} \quad (9)$$

โดยที่ p คือ ความดันที่กระทำต่อพื้นที่ผิวคานด้านบน, l คือ ระยะครึ่งหนึ่งของความยาวคาน และ c คือ ระยะความสูงครึ่งหนึ่งของคาน



ข



รูปที่ 2 ลักษณะทางเรขาคณิตและการกระทำของภาระภายนอกต่อ (ก) คานสี่เหลี่ยมอย่างง่ายรับแรงกระจายเอกรูป และ (ข) แผ่นเรียบบางมีรูกลมตรงกลางรับความเค้นเฉือนล้วน

3.2 แผ่นเรียบบางมีรูกลมตรงกลางรับความเค้นเฉือนล้วน

สมการองค์ประกอบความเค้นในระบบพิกัดเชิงขั้วของแผ่นเรียบบางมีรูกลมตรงกลางรับความเค้นเฉือนล้วน (รูปที่ 2ข) สามารถเขียนได้ดังนี้ [6]

$$\begin{aligned} \sigma_{rr} &= S \left[1 + \frac{3a^4}{r^4} - \frac{4a^2}{r^2} \right] \cos 2\theta \\ \sigma_{\theta\theta} &= -S \left[1 + \frac{3a^4}{r^4} \right] \cos 2\theta \\ \tau_{r\theta} &= -S \left[1 - \frac{3a^4}{r^4} + \frac{2a^2}{r^2} \right] \sin 2\theta \end{aligned} \quad (10)$$

โดยที่ S คือ ค่าความเค้นเฉือนที่กระทำต่อแผ่นเรียบบาง, a คือ รัศมีของรูกลมตรงกลาง และ r คือ รัศมี ณ ตำแหน่งที่พิจารณาใด ๆ ภายในแผ่นเรียบบาง

4. การจำลอง

ในส่วนของการจำลองนี้จะใช้วิธีการเดียวกันกับที่คณะผู้วิจัยได้นำเสนอไว้แล้ว [1, 2] อย่างไม่ก็ตามจะขอกล่าวขั้นตอนการจำลองโดยย่อ ดังนี้

1. กำหนดหาค่าองค์ประกอบความเค้นโดยอาศัยสมการ (9) หรือ (10) ณ จุดพิกัดต่าง ๆ

2. คำนวณหาค่า σ_1 และ σ_2

3. คำนวณหาค่า ϕ , N_c และ N_p

4. สร้างภาพความเข้มแสงของรีวิโฟโตอีลาสติก โดยอาศัยสมการความเข้มแสงควบคุมตามหลักการเลื่อนเฟส 4 ชั้น

ลักษณะทางเรขาคณิตและขนาดของแรงหรือความเค้นที่กระทำต่อตัวแบบทั้งสอง ซึ่งใช้ในการจำลอง มีดังนี้

- สำหรับคานสี่เหลี่ยมอย่างง่ายรับแรงกระจายเอกรูป กำหนดให้ $p = 0.3$ นิวตัน/มิลลิเมตร², $l = 50$ มิลลิเมตร, $c = 10$ มิลลิเมตร และ $t = 10$ มิลลิเมตร

- สำหรับแผ่นเรียบบางมีรูกลมตรงกลางรับความเค้นเฉือนล้วน กำหนดให้ $S = 2.5$ เมกกะปาสคาล, $a = 50$ มิลลิเมตร และ พื้นที่เท่ากับ $2c \times 2c$ โดยที่ $c = 300$ มิลลิเมตร

สำหรับเงื่อนไขการจำลองหลังจากคำนวณแล้วเสร็จ ก็จะแปลงค่าต่าง ๆ ไปเป็นภาพ หรือที่เรียกว่าแผนภาพ (map) โดยทำการเปลี่ยนไปเป็นค่าสีในย่าน 0 ถึง 255 แบบเชิงเส้น

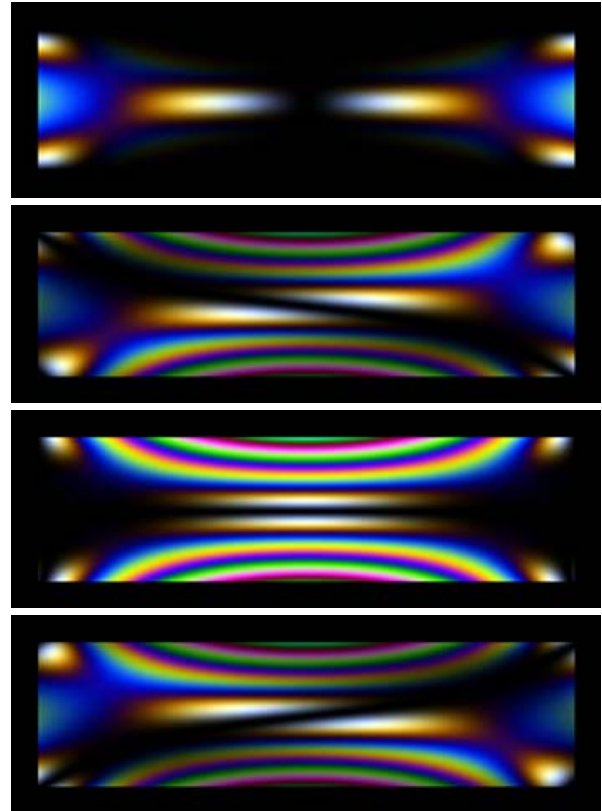
5. ผลลัพธ์และวิจารณ์

ในส่วนนี้จะนำเสนอผลลัพธ์ที่ได้จากการจำลองทั้งที่เป็นรีวิโฟโตอีลาสติก, แผนภาพ N_c , แผนภาพ N_p , แผนภาพ $(\sigma_1 - \sigma_2)$ และแผนภาพ $(\sigma_1 + \sigma_2)$

5.1 รีวิโฟโตอีลาสติก

หลังจากแทนค่าต่าง ๆ ลงในสมการความเข้มแสงควบคุมแล้ว จะได้ภาพรีวิโฟโตอีลาสติกตามลำดับการเลื่อนเฟส 4 ชั้น รูปที่ 5 และ 6 แสดงรีวิโฟโตอีลาสติกของคานสี่เหลี่ยมอย่างง่ายรับแรงกระจายเอกรูป และแผ่นเรียบบางมีรูกลมตรงกลางรับความเค้นเฉือนล้วน

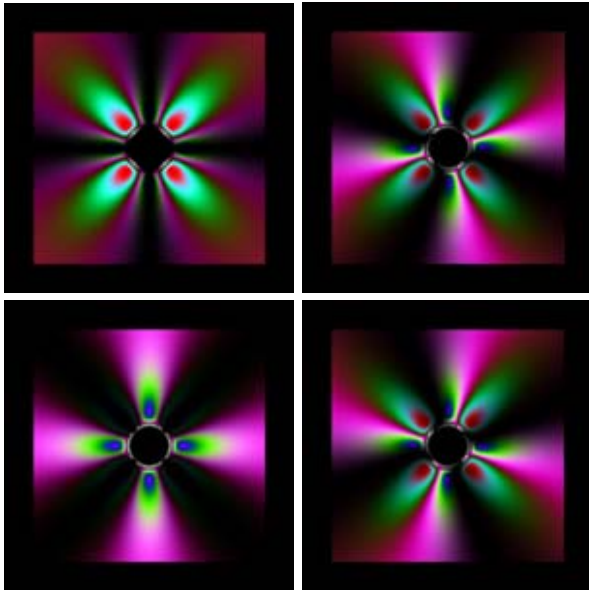
พิจารณารูปที่ 5 พบว่า รีวิโฟโตอีลาสติก (รีวิสีดำ) จะพาดผ่านบริเวณกึ่งกลางของคานในทุก ๆ ลำดับภาพ ซึ่งแสดงให้เห็นว่า บริเวณดังกล่าวเป็นแนวแกนสะเทิน และที่แกนนี้จะมีจุดหรืออาณาบริเวณเอกลักษณะ (isotropic points or region) ซึ่งเป็นไปตามเงื่อนไข $\sigma_1 = \sigma_2 \neq 0$ และ $(\sigma_1 - \sigma_2) = 0$ [7]



รูปที่ 5 ภาพสี (RGB) 24 บิต ขนาด 660 จุดภาพ \times 220 จุดภาพ ของคานสี่เหลี่ยมอย่างง่ายรับแรงกระจายเอกรูปที่ได้จากการจำลองตามหลักการเลื่อนเฟส 4 ชั้น (เรียงตามลำดับจากบนลงล่าง)

สำหรับรีวิโฟโตอีลาสติก (รีวิสีต่าง ๆ) นั้น จะมีลักษณะที่คล้ายกันทั้งความถี่และความโค้งที่ส่วนบนและส่วนล่าง (ดูภาพลำดับที่สามของรูปที่ 5) อย่างไรก็ตาม หากสังเกตโดยละเอียดแล้วจะพบว่า รีวิโฟโตอีลาสติกด้านบนนั้นจะมีจำนวนมากกว่าด้านล่างเล็กน้อย กล่าวคือ รีวิสีเขียวที่ผิวด้านบนจะมีพื้นที่มากกว่ารีวิสีเขียวด้านล่าง ลักษณะดังกล่าวนี้เป็นผลให้แนวแกนสะเทินเลื่อนลงมาทางด้านล่างเล็กน้อย

พิจารณารูปที่ 6 พบว่า รีวิโฟโตอีลาสติก (รีวิสีดำ) จะมีลักษณะคล้ายกับกังหัน ซึ่งหมุนรอบจุดศูนย์กลางของรูกลม ลักษณะเช่นนี้สอดคล้องกับการหมุนของแผ่นโพลาไรซ์และแผ่นวิเคราะห์ในโพลาไรสโคป จากภาพจะเห็นได้ว่า รีวิสีดำไม่ได้ผ่านจุดใดจุดหนึ่งที่ซ้ำกันยกเว้นจุดศูนย์กลางซึ่งไม่มีเนื้อวัสดุ ดังนั้น ก็จะไม่



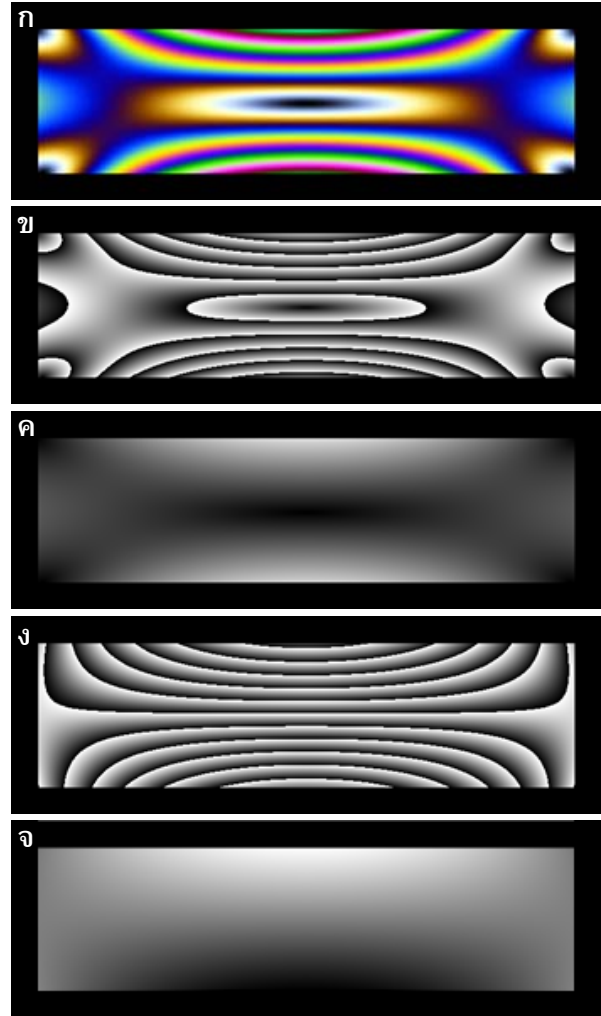
รูปที่ 6 ภาพสี (RGB) 24 บิต ขนาด 660 จุดภาพ × 660 จุดภาพ ของแผ่นเรียบบางมีรูกลมตรงกลางรับความเค้นเฉือนล้วนที่ได้จากการจำลองตามหลักการเลื่อนเฟส 4 ชั้น (เรียงตามลำดับจากซ้ายไปขวาและบนลงล่าง)

มีจุดหรืออาณาบริเวณเอกลักษณ์ อย่างไรก็ตาม จะมีจุดเอกพจน์ที่บริเวณขอบรูกลมหลาย ๆ จุด ซึ่ง ณ จุดเหล่านี้ สภาวะความเค้นจะเป็นไปตามเงื่อนไข $\sigma_1 = \sigma_2 = 0$ และ $(\sigma_1 - \sigma_2) = 0$ [7]

พิจารณาบริเวณขอบของรูกลม พบว่า ริวไอโซโครมาติกจะมีจำนวนมาก ซึ่งต่างจากบริเวณที่ห่างออกไปจากขอบรูกลม ลักษณะเช่นนี้แสดงให้เห็นว่าค่าผลต่างของความเค้นหลัก $(\sigma_1 - \sigma_2)$ จะมีการแปรเปลี่ยนไปอย่างรวดเร็วมากแบบไร้เชิงเส้น เมื่อจุดหรือตำแหน่งที่พิจารณาเข้าใกล้ขอบรูกลม

5.2 ริวไอโซโครมาติกและริวไอโซพาทิก

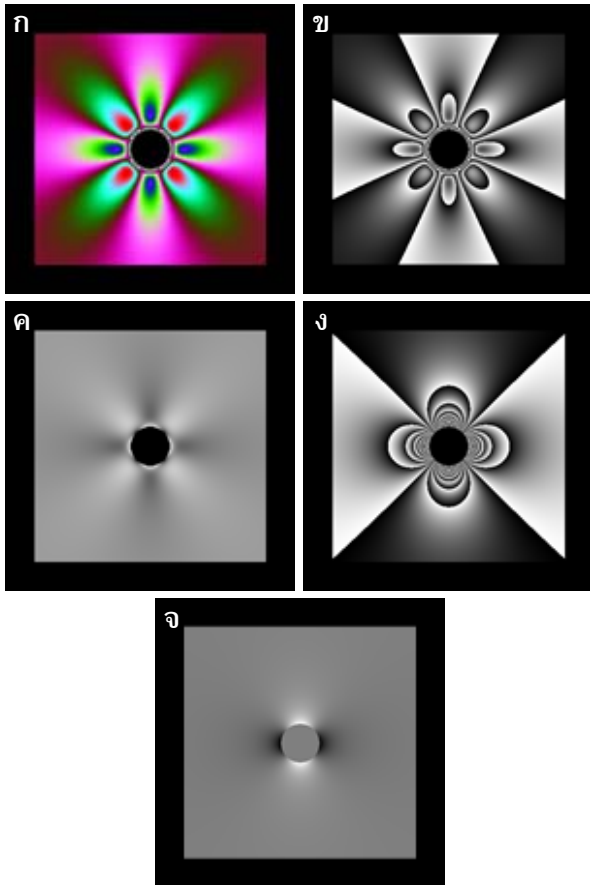
รูปที่ 7ก, 7ข และ 7ค แสดงแผนภาพไอโซโครมาติกซ้อนรูป (wrapped isochromatics), แผนภาพ $(\sigma_1 - \sigma_2)$ และ แผนภาพไอโซโครมาติกเต็มรูป (unwrapped isochromatics, N_c) ของคานสี่เหลี่ยมอย่างง่ายรับแรงกระจายเอกรูป ตามลำดับ โดยรูปที่ 7ก ได้จากวิธีการคำนวณตามหลักการเลื่อนเฟส [8]



รูปที่ 7 แผนภาพไอโซโครมาติก และไอโซพาทิก ของคานสี่เหลี่ยมอย่างง่ายรับแรงกระจายเอกรูป (ก) แผนภาพไอโซโครมาติก (ข) แผนภาพ $(\sigma_1 - \sigma_2)$ (ค) แผนภาพ N_c (ง) แผนภาพ $(\sigma_1 + \sigma_2)$ และ (จ) แผนภาพ N_p สำหรับริวในรูป (ข) ถึง (จ) เป็นภาพสีเขียว (G image) ที่แยกจากภาพสามสี (RGB image)

ส่วนรูปที่ 7ข และ 7ค คำนวณมาจากภาพสีเขียวของรูป 7ก

จากการพิจารณารูปทั้งสาม พบว่า อาณาบริเวณเอกลักษณ์จะอยู่ตรงกลางคาน โดยมีระดับต่ำลงมาเล็กน้อยตามที่ได้กล่าวแล้วในหัวข้อ 5.1 นอกจากนี้จากการพิจารณามุมทั้งสิ้นของคานพบว่า ส่วนดังกล่าวเป็นส่วนที่ไม่มีความเค้นเกิดขึ้น ทั้งนี้เนื่องจากว่า $N_c = 0$ (สีดำ) ดังนั้น จุดทั้งสิ้นจึงเป็นจุดเอกพจน์ [7] ซึ่งสอดคล้องกับลักษณะการเปลี่ยนแปลงของริวตาม



รูปที่ 8 แผนภาพไอโซโครมาติก และไอโซพาสติก ของ
แผ่นเรียบบางมีรูกลมตรงกลางรับความเค้นเฉือนล้วน
(ก) แผนภาพไอโซโครมาติก (ข) แผนภาพ $(\sigma_1 - \sigma_2)$
(ค) แผนภาพ N_c (ง) แผนภาพ $(\sigma_1 + \sigma_2)$ และ (จ)
แผนภาพ N_p สำหรับร้าวในรูป (ข) ถึง (จ) เป็นภาพสี
เขียว (G image) ที่แยกจากภาพสามสี (RGB image)

พิกัดตำแหน่ง (gradient) กล่าวคือ ร้าวจะเปลี่ยนจากสี
ดำไปเป็นสีขาว โดยเริ่มจากจุดหรืออาณาบริเวณ
เอกลักษณ์ และเอกพจน์ เป็นต้นไป ซึ่งในท้ายที่สุด
ผลลัพธ์ที่ได้ก็คือ รูปที่ 7ค

จากการพิจารณาแผนภาพ $(\sigma_1 + \sigma_2)$ และ
แผนภาพ N_p (รูปที่ 7ง และ 7จ ตามลำดับ) พบว่า
ลักษณะของแผนภาพ $(\sigma_1 + \sigma_2)$ จะมีความคล้ายคลึง
กับแผนภาพ $(\sigma_1 - \sigma_2)$ โดยที่จำนวนร้าวของแผนภาพ
 $(\sigma_1 + \sigma_2)$ จะมีมากกว่าทั้งด้านบนและด้านล่าง
นอกจากนี้ตำแหน่งหรืออาณาบริเวณไอโซทรอปิกไม่
ปรากฏในแผนภาพ $(\sigma_1 + \sigma_2)$ ทั้งนี้เนื่องมาจาก

เงื่อนไขที่ได้กล่าวแล้วในหัวข้อ 5.1 กล่าวคือ ที่จุดหรือ
อาณาบริเวณเอกลักษณ์นั้น $\sigma_1 = \sigma_2 \neq 0$ และด้วย
เหตุนี้ $(\sigma_1 + \sigma_2) \neq 0$

รูปที่ 8ก, 8ข และ 8ค แสดงแผนภาพไอโซโคร-
มาติกซ้อนรูป, แผนภาพ $(\sigma_1 - \sigma_2)$ และ แผนภาพไอ-
โซโครมาติกเต็มรูป N_c ของแผ่นเรียบบางมีรูกลมตรง
กลางรับความเค้นเฉือนล้วน ตามลำดับ โดยรูปที่ 8ก
ได้มาจากวิธีการคำนวณตามหลักการเลื่อนเฟส [8]
ส่วนรูปที่ 8ข และ 8ค คำนวณมาจากภาพสีเขียวของ
รูปที่ 8ก

พิจารณารูปที่ 8ข และ 8ค พบว่า มีความสอดคล้อง
กัน กล่าวคือ บริเวณที่เป็นสีดำและขาว ในรูปที่ 8ค จะ
เกิดจากการแปรเปลี่ยนของร้าวตามพิกัดตำแหน่ง
นอกจากนี้ บริเวณขอบของรูกลมมีค่าความเค้นที่สูง
มากและมีจุดเอกพจน์สีจุด ซึ่งมีตำแหน่งอยู่ในแนว
กึ่งกลางของร้าวขนาดใหญ่ในรูปที่ 8ก (ร้าวที่มีมุมเอียง
ประมาณ 45° หรือ 135°) พิจารณารูปที่ 8ค อีกครั้ง
พบว่าบริเวณที่ห่างออกไปจากรูกลมจะเป็นสีเทา ซึ่ง
ลักษณะเช่นนี้สอดคล้องกับปัญหาที่รับความเค้นเฉือน
ล้วน กล่าวคือ ที่บริเวณดังกล่าว ค่าของ σ_1 หรือ σ_2
จะเท่ากันแต่ σ_1 จะเป็นความเค้นดึงในขณะที่ σ_2 เป็น
ความเค้นอัด ซึ่งทำให้ $(\sigma_1 - \sigma_2) = 2S$

พิจารณาแผนภาพ $(\sigma_1 + \sigma_2)$ และ N_p (รูปที่ 8ง
และ 8จ ตามลำดับ) พบว่า มีความสอดคล้องกันใน
เรื่องของการแปรเปลี่ยนของร้าวต่อพิกัดตำแหน่ง
ดังกล่าวแล้วข้างต้น นอกจากนี้ ที่บริเวณขอบรูกลม
ความเค้นจะมีค่าสูงมากกว่าความเค้นในรูปที่ 8ค เมื่อ
เปรียบเทียบจำนวนร้าวบริเวณขอบรูกลม

6. สรุปผล

บทความนี้ได้นำเสนอการจำลองสนามความเค้น
ของปัญหาคานสี่เหลี่ยมอย่างง่ายรับแรงกระจายเอก
รูป และแผ่นเรียบบางมีรูกลมตรงกลางรับความเค้น
เฉือนล้วน การจำลองอาศัยหลักการโฟโตอีลาสติกซีดี
เชิงเลขร่วมกับผลเฉลยแม่นยำตรงของปัญหาดังกล่าว
จากทฤษฎีสภาพยืดหยุ่น ผลการจำลองทำให้ร้าวโฟโต-
อีลาสติกและร้าวไอโซพาสติก ภาพร้าวโฟโตอีลาสติกทำ

ให้เห็นอาณาบริเวณที่ความเค้นมีค่าสูง ซึ่งทำให้เห็นลักษณะของความหนาแน่นของความเค้น

การจำลองสนามความเค้นสำหรับสองปัญหานี้จะทำให้มีสนามความเค้นเพิ่มมากขึ้นจากที่ได้นำเสนอไว้แล้ว [1, 2] ซึ่งจะก่อให้เกิดประโยชน์หลัก ๆ สองด้านในอนาคต ดังนี้

- ด้านการเรียนการสอน: สามารถนำภาพสนามความเค้นเหล่านี้ไปประกอบการเรียนการสอนในรายวิชาการศาสตร์วัสดุและทฤษฎีสถาปัตยกรรม โดยเฉพาะอย่างยิ่งในหัวเรื่อง ความหนาแน่นของความเค้น นอกจากนี้การจำลองนี้ถูกเขียนขึ้นเป็นโปรแกรม [9] ดังนั้นการนำโปรแกรมไปใช้จะทำให้ผู้เรียนเห็นลักษณะสนามความเค้นที่แปรเปลี่ยนไปตามการเปลี่ยนแปลงตัวแปรต่าง ๆ ที่ใช้ควบคุมการจำลอง ซึ่งจะส่งผลให้ผู้เรียนเข้าใจโมทัศน์เกี่ยวกับสนามความเค้นเพิ่มมากขึ้น

- ด้านงานอุตสาหกรรม: สามารถนำภาพสนามความเค้นเหล่านี้ไปใช้เป็นตัวแบบมาตรฐานในการทดสอบวิธีการต่าง ๆ ที่มีอยู่แล้วหรือที่กำลังจะสร้างขึ้นเพื่อการวิเคราะห์ตัวแปรโฟโตอีลาสติกซีทีเชิงเลขของภาพสนามความเค้นจริง (stress field in real world) ทั้งในเรื่องของ ความถูกต้องของค่าเชิงตัวเลขและความรวดเร็วในการคำนวณ ซึ่งจะเป็นการเพิ่มศักยภาพการแก้ปัญหาการออกแบบชิ้นส่วนทางกล

7. เอกสารอ้างอิง

[1] ศรีณยู มั่นพิศุทธิ์ และ พิเชษฐ์ พินิจ (2551). การตรวจสอบผลเฉลยจากทฤษฎีสถาปัตยกรรมของแผ่นวงแหวนรับแรงเข้มกดตรงกันข้ามตามแนวเส้นผ่านศูนย์กลางด้วยวิธีวิเคราะห์ความเค้นในช่วงยืดหยุ่นโดยแสงเชิงดิจิทัล, *การประชุมวิชาการเครือข่ายวิศวกรรมเครื่องกลแห่งประเทศไทย ครั้งที่ 22*, มหาวิทยาลัยธรรมศาสตร์ ศูนย์รังสิต กรุงเทพฯ ฯ

[2] ศรีณยู มั่นพิศุทธิ์ และ พิเชษฐ์ พินิจ (2551). การจำลองภาพสนามความเค้นสองมิติของแผ่นเรียบบางขนาดใหญ่ที่มีรูกลมตรงกลาง, *การประชุมวิชาการวิศวกรรมอุตสาหการแห่งชาติ ครั้งที่ 3*, โรงแรมเอส ดี อเวนิว, กรุงเทพฯ ฯ

[3] Sadowsky, M.A. 1941. Classification of Isotropic Points as Defined by $(\sigma_1 - \sigma_2) = 0$ within a Regular Region. *Journal of Applied Physics*, vol. 12, August 1941, pp. 605-609.

[4] Ramesh, K. 2000. *Digital Photoelasticity: Advanced Technique and Applications*, Springer, Berlin Germany.

[5] Gdoutos, E.E. (2007). Study the caustics, isochromatic and isopachic fringes at a bi-material interface crack-tip, paper presented in *the 13th International Conference on Experimental Mechanics (ICEM13)*, Alexandroupolis, Greece.

[6] Volterra, E. and Gaines, J.H. (1971). *Advanced Strength of Materials*, Prentice-Hall, New Jersey, U.S.A.

[7] พิเชษฐ์ พินิจ (2552). การค้นหาภาวะไร้ความต่อเนื่องในแผนภาพไอโซคลินิกในวิธีวิเคราะห์ความเค้นในช่วงยืดหยุ่นด้วยแสงเชิงดิจิทัล, *วารสารวิจัยและพัฒนา มจร*, 32(1), มกราคม 2552, หน้า 89-103

[8] Pinit, P. and Umezaki, E. (2008). Absolute Fringe Order Determination in Digital Photoelasticity, *Journal of Solid Mechanics and Materials Engineering*, vol. 2(4), pp. 519-529.

[9] Pinit, P. (2009). Development of Windows-based program for analysis and visualization of two-dimensional stress field in digital photoelasticity, *Songklanakarin Journal of Science and Technology*, vol. 31(2), Mach. [in press]